

## تأثیر افزودن سیلیکای آمورف بر استحاله مارتنتزیتی زیرکونیا و بررسی مکانیزم‌های پایدارسازی ساختار تراگونال زیرکونیا

موسی فرهادیان\*

دانشکده مهندسی مواد، دانشگاه صنعتی اصفهان، ایران

(دریافت مقاله: ۱۳۹۸/۱۰/۱۱ - دریافت نسخه نهایی: ۱۳۹۹/۵/۱۱)

**چکیده**- هدف از این تحقیق بررسی تأثیر افزودن  $\text{SiO}_2$  آمورف در تحولات فازی و ریزساختاری  $\text{ZrO}_2$  است. نتایج پراش پرتو ایکس (XRD) نشان داد، به دلیل تشابه ساختاری بین زمینه آمورف و ساختار تراگونال  $\text{ZrO}_2$ ، اولین فازی که از زمینه آمورف جوانه می‌زند فاز شبه‌پایدار تراگونال است. این فاز در نمونه  $\text{ZrO}_2$  خالص ناپایدار بوده و در دمای حدود ۶۰۰ درجه سانتی‌گراد به فاز پایدار مونوکلینیک تبدیل می‌شود. در حالی که با افزودن  $\text{SiO}_2$  به ساختار  $\text{ZrO}_2$  فاز شبه‌پایدار تراگونال حتی تا دمای حدود ۱۱۰۰ درجه سانتی‌گراد پایدار می‌ماند. محدوده دمایی پایداری ساختار تراگونال شبه‌پایدار از حدود ۱۵۰ درجه سانتی‌گراد در ذرات  $\text{ZrO}_2$  خالص به حدود ۵۰۰ درجه سانتی‌گراد در ذرات کامپوزیتی  $\text{ZrO}_2\text{-SiO}_2$  با محتوای ۱۰ درصد مولی  $\text{SiO}_2$  افزایش پیدا کرد. با افزایش بیشتر محتوای  $\text{SiO}_2$  به ۳۰ مولی، محدوده پایداری دمایی ساختار تراگونال شبه‌پایدار ثابت ماند ولی میانگین اندازه ذرات نسبت به ذرات خالص  $\text{ZrO}_2$  حدود ۱/۶ برابر کاهش یافت. پایداری ساختار تراگونال شبه‌پایدار  $\text{ZrO}_2$  به دلیل اثر محدود کنندگی  $\text{SiO}_2$  و ایجاد پیوندهای شیمیایی جدید Zr-O-Si در فصل مشترک ذرات است.

واژه‌های کلیدی: کامپوزیت، زیرکونیا، سیلیکای آمورف، پایدارساز، سل-زل.

## Effect of Amorphous Silica Addition on Martensitic Phase Transformation of Zirconia and Investigation of its Tetragonal Structure Stability Mechanisms

M. Farhadian\*, K. Raeissi and M. A. Golozar

Department of Materials Engineering, Isfahan University of Technology, Iran.

**Abstract:** This work is focused on the effect of amorphous  $\text{SiO}_2$  addition on the phase transformation and microstructural evolution of  $\text{ZrO}_2$  particles. Considering the structural similarities between the amorphous  $\text{ZrO}_2$  and its tetragonal structure, XRD results showed initial nucleation of metastable tetragonal  $\text{ZrO}_2$  from its amorphous matrix upon heat treatment. This metastable phase is unstable in pure  $\text{ZrO}_2$  sample and transforms to a stable monoclinic phase at around 600 °C. However, addition of amorphous  $\text{SiO}_2$  to  $\text{ZrO}_2$  structure causes metastable tetragonal phase to remain stable up to around 1100 °C. The temperature range for stability of metastable tetragonal  $\text{ZrO}_2$  structure increased from about 150 °C in pure  $\text{ZrO}_2$  particles to

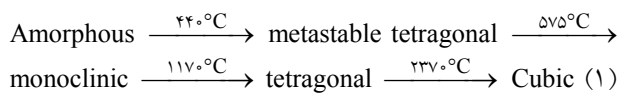
\*: مسئول مکاتبات، پست الکترونیکی: mousa.farhadian@ma.iut.ac.ir

around 500 °C in ZrO<sub>2</sub>-10 mol.% SiO<sub>2</sub> composite powders. A further increase in SiO<sub>2</sub> content up to 30 mol.% did not change the stabilization temperature range but the average particle size reduced around 1.6 times compared to pure ZrO<sub>2</sub> particles. Stabilization of metastable tetragonal ZrO<sub>2</sub> explained by constrained effect of SiO<sub>2</sub> layer surrounding zirconia nuclei. The thickness of this SiO<sub>2</sub> layer enhanced by increasing SiO<sub>2</sub> content which limited the growth of ZrO<sub>2</sub> nuclei resulting in finer particle sizes.

**Keywords:** Composite, Zirconia, Amorphous silica, Stabilizer, Sol-gel.

## ۱- مقدمه

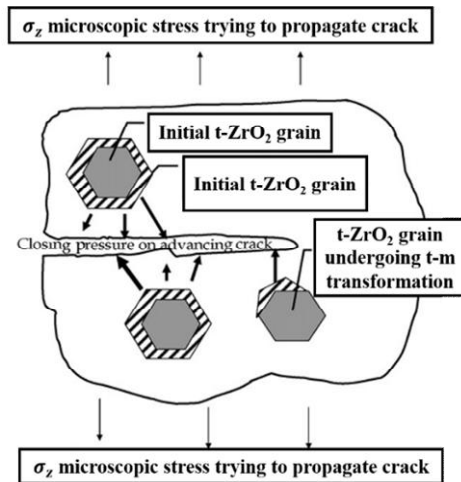
۱۱۷° درجه سانتی گراد دوباره به فاز تراگونال پایدار و سپس فاز تراگونال در دمای ۲۳۷° درجه سانتی گراد به فاز مکعبی تبدیل می شود. فازهای مکعبی و تراگونال زیرکونیای خالص در دماهای پایین پایدار نیستند و با کاهش دما به ترتیب تبدیل فازهای  $t \rightarrow c$  و  $c \rightarrow m$  اتفاق می افتد که جزء استحاله های غیرنفوذی است. با انجام استحاله  $m \rightarrow t$  افزایش حجم حدود پنج درصد حجمی در ساختار ماده ایجاد می شود که با افزایش تافنس ماده از رشد ترک و گسترش آن به داخل ماده جلوگیری می کند (شکل ۱):



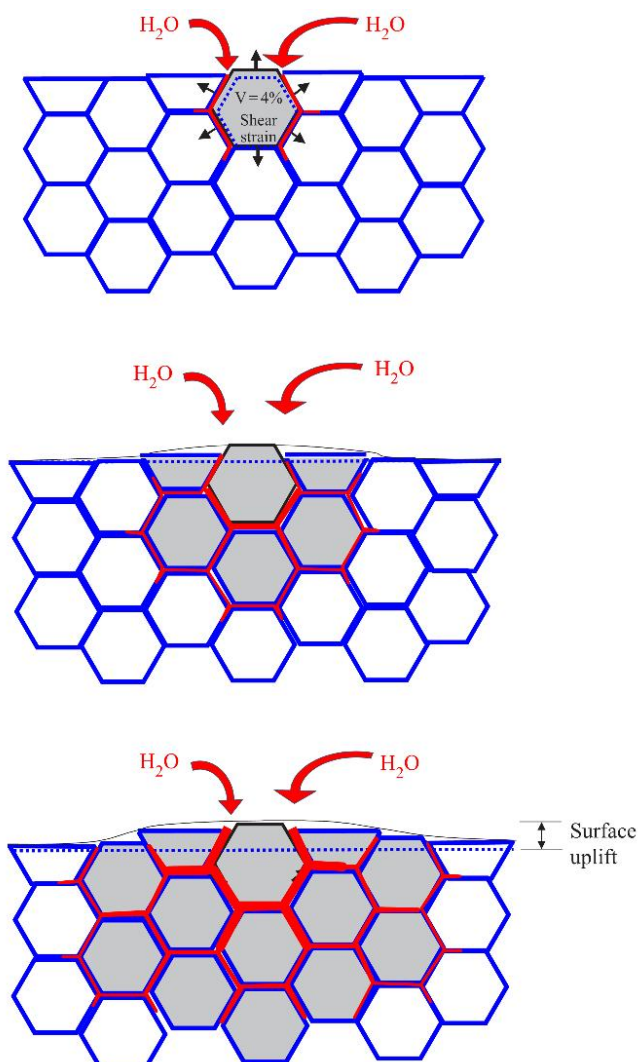
پیشگویی<sup>۱</sup> زیرکونیا زمانی اتفاق می افتد که سطح زیرکونیای با ساختار بلوری تراگونال در معرض آب (یا مایعات بدن) قرار گرفته و تبدیل به فاز مونوکلینیک شود. پیشگویی در دماهای بالاتر، حدود ۲۵۰ درجه سانتی گراد، بسیار سریع است و حتی در دمای اتاق نیز رخ می دهد. رادیکال های آب با نفوذ به شبکه بلوری زیرکونیا باعث افزایش تنش های کششی در دانه های سطحی شده و استحاله مارتزیتی را تسهیل می کنند. به دلیل افزایش حجم ناشی از انجام استحاله مارتزیتی در یکی از دانه ها، تنش های کششی به دانه های مجاور منتقل شده و استحاله مارتزیتی ناشی از تنش، منجر به ایجاد ترک در سطح ماده می شود. با ایجاد ترک، راه برای رسیدن مولکول های آب به داخل ماده تسهیل شده و پیشگویی از سطح به توده ماده گسترش پیدا می کند (شکل ۲)<sup>[۴]</sup>. از طرفی ذرات کنده شده ناشی از تخریب، وارد بافت های اطراف کاشتنی شده و باعث تحریک ماکرو فاز ها می شوند. ماکرو فاز ها، سیتوکسین های التهابی را آزاد کرده که منجر به جذب و تخریب استخوان و

زیرکونیا (ZrO<sub>2</sub>) در سال ۱۷۸۹ میلادی توسط شیمی دان آلمانی به نام مارتین هنریچ کلاپورف معرفی شد. مقدار آن در طبیعت به نسبت زیاد است و حدود ۰/۰۲ درصد از عناصر پوسته زمین را تشکیل می دهد. پایداری ابعادی و شیمیابی عالی، تافنس، مدول یانگ و استحکام مکانیکی مشابه با آلیاژ های فولاد زنگ نزن، آن را به عنوان یک بیوسرامیک ایده آل برای کاربردهای پزشکی تبدیل کرده است. عمده ترین کاربرد زیرکونیا، استفاده از آن به عنوان جایگزین برای گردی سر استخوان ران است که در سال ۱۹۸۸ میلادی معرفی شد. همچنین پوشش های زیرکونیابی به منظور تقویت مقاومت به خوردگی و سایش کاشتنی های فلزی توسعه یافته است [۱]. دو محدودیت مهم زیرکونیا در کاربردهای بیولوژیکی «زیست خنثی بودن» و «وقوع پدیده پیشگویی» است. هنگامی که زیرکونیا در بدن کاشته می شود بدون هیچ گونه پیوند بیولوژیکی یا شیمیابی با بافت های اطراف خود، فقط از نظر مورفولوژیکی تثبیت می شود. به همین دلیل از مواد زیست فعال (مانند زیست مواد شیشه ای و هیدروکسی آپاتیت) برای پوشش دهنده سطح زیرکونیا و یا ساخت کامپوزیت به منظور دستیابی به خواص زیست فعالی پوشش همراه با استحکام و پایداری شیمیابی بالا استفاده می شود [۲].

تغییرات ساختار بلوری در زیرکونیای خالص با افزایش دما به صورت رابطه (۱) است. بر اساس منحنی فازی زیرکونیای خالص، اولین فازی که از ساختار آمورف جوانه زنی می کند، فاز شبه پایدار تراگونال است. این فاز ناپایدار بوده و با افزایش بیشتر دما به فاز پایدار مونوکلینیک تبدیل می شود به طوری که در بالاتر از دمای ۵۷۵ درجه سانتی گراد فاز خالص مونوکلینیک به دست می آید. با افزایش بیشتر دما، فاز مونوکلینیک در دمای



شکل ۱- نمادینی از نحوه افزایش تاونس شکست توسط استحالت  $m \rightarrow t$  در زیرکونیا [۴]



شکل ۲- پیشرفتگی زیرکونیا با انجام استحالت مارتنتزیتی در اثر تماس با مولکولهای آب [۵]

پیرشده‌گی اثبات شده است [۸]. در اثر کاهش اندازه دانه، تافنس ماده افزایش و حد بحرانی گسترش ترک به دلیل کاهش اثرات استحاله مارتینزیتی، کاهش می‌یابد. ثابت شده است که اگر اندازه دانه فاز تراگونال از مقدار بحرانی (۳۰ نانومتر) بیشتر شود، فاز تراگونال به مونوکلینیک تبدیل خواهد شد. برخی دیگر از پژوهشگران، پایداری فاز تراگونال در دمای پایین و استحاله بسیار کند تراگونال به مونوکلینیک را به عوامل دیگری مانند بخار آب، شباهت ساختاری بین ژلهای آمورف پیش‌ماده و زیرکونیای تراگونال بلوری، مرزهای دانه، جاهای خالی آئیونی، جوانهزنی غیرهمگن و جوانهزنی ناشی از تنش ارتباط می‌دهند [۹].

mekanizm‌های پایدارسازی مختلفی با افزایش اکسیدها به ترکیب زیرکونیا ارائه شده است. برخی از پژوهشگران اعتقاد دارند که با جایگزینی کاتیون‌ها در شبکه بلوری زیرکونیا، شبکه چار اعوجاج شده و منظم شدن آئیون‌ها در شبکه بلوری تسهیل می‌شود. برخی دیگر از پژوهشگران اعتقاد دارند که تغییر در تعادل بار الکتریکی که با جایگزینی کاتیون‌های با بار مثبت  $M^{n+}$  ( $n=4$ ) به جای  $Zr^{4+}$  رخ می‌دهد، منجر به پایدارسازی می‌شود. جاهای خالی اکسیژنی و نیز تنش‌های داخلی به دلیل اختلاف شعاع اتمی نیز در پایدارسازی بسیار مؤثر هستند [۱۰].

در سال‌های اخیر، نانوکامپوزیت زیرکونیا-سیلیکا به روش سل-ژل با استفاده از کاتالیست اسیدی سنتز شده و دمای شروع تحول فاز شبکه پایدار تراگونال زیرکونیا به فاز مونوکلینیک حدود ۱۰۰۰ درجه سانتی‌گراد گزارش شده است [۱۱]. هدف از تحقیق حاضر ارزیابی تأثیر کاتالیست بازی در مرحله سنتز به روش سل-ژل بر پایداری دمایی فاز تراگونال زیرکونیا در نانوکامپوزیت زیرکونیا-سیلیکا است. برای این منظور نانوکامپوزیت‌های زیرکونیا-سیلیکا با درصدهای مولی ۱۰، ۲۰ و ۳۰ سیلیکا سنتز شد و دمای تحولات فازی تراگونال شبکه پایدار و مکانیزم غالب برای پایدارسازی بررسی شد.

پدیده استئولیز<sup>۲</sup> شده و درنهایت باعث شل شدگی کاشتنی خواهد شد (شکل ۲) [۴].

دوب کردن زیرکونیا با دوپانت‌های مناسب با غلظت‌های پایین (کمتر از هشت درصد مولی) باعث پایداری فاز تراگونال و با غلظت‌های بالاتر (حدود هشت درصد مولی) باعث پایداری فاز مکعبی می‌شود. پایداری فازهای تراگونال و مکعبی زیرکونیا در دمای اتاق به ترتیب منجر به افزایش تافنس مکانیکی به مقادیری بسیار بالاتر نسبت به سرامیک‌های دیگر می‌شود [۵]. گروه تحقیقاتی پاسرینی و رووف [۳] اثبات کردند که با آلیاز کردن زیرکونیا با اکسیدهای مکعبی دیگر (پایدارسازها)، می‌توان ساختار تراگونال و حتی مکعبی زیرکونیا را به صورت شبکه پایدار در دمای اتاق ایجاد کرد و از ترک برداشتن و شکست ماده جلوگیری کرد. امروزه برای جلوگیری از پدیده پیرشده پایدارسازهایی مانند  $O_2$ ,  $CaO$ ,  $Er_2O_3$ ,  $Y_2O_3$ ,  $MgO$ ,  $CeO_2$ ,  $La_2O_3$ ,  $Sc_2O_3$ ,  $Gd_2O_3$ ,  $Eu_2O_3$  و  $Yb_2O_3$  در کاربردهای پزشکی پیشتر برای مطالعه استفاده می‌شود که از بین آنها،  $CaO$ ,  $Y_2O_3$ ,  $MgO$  و  $CeO_2$  در کاربردهای جراحی‌های پزشکی رسیده است [۵]. تحقیقات کاربردهای جراحی‌های پزشکی رسیده در انجام شده در سال‌های اخیر نشان داده است که حتی دوب کردن با یون‌های  $Ba^{2+}$  [۶] و  $Tb^{3+}$  [۷] نیز باعث پایدارسازی فاز شبکه پایدار تراگونال زیرکونیا شده است.

علاوه بر نوع ساختار بلوری، ریزساختار ماده شامل تراکم، اندازه دانه، همگنی و ویژگی‌های سطحی کاشتنی نقش بسیار مهمی در پدیده پیرشده پدیده پیرشدن است. تراکم کم فاکتور برای جلوگیری از رخداد پدیده پیرشدن است. تراکم کم وجود ترک، باعث نفوذ آسان مولکول‌های آب نه تنها در سطح، بلکه در توده ماده می‌شود. بنابراین، ماده کاشتنی استحکام داخلی خود را از دست داده و خواص مکانیکی آن افت کرده و دچار شکست خواهد شد [۴]. بسیاری از پژوهشگران بر اهمیت تأثیر اندازه دانه بر فرایند پیرشده‌گی زیرکونیا تأکید کرده‌اند و اثرات مفید کاهش اندازه در سینتیک

جدول ۱- مقادیر پیش‌ماده‌های استفاده شده برای سنتز ذرات کامپوزیتی  $\text{ZrO}_2\text{-SiO}_2$

ترکیب ذرات	شیمیایی زیرکونیم پروپوکساید	تراتیل ارتو سیلیکات	محلول شماره ۲	محلول شماره ۱	محلول شماره ۲
(میلی لیتر)	(میلی لیتر)	(میلی لیتر)	(میلی لیتر)	(میلی لیتر)	(میلی لیتر)
ZrO <sub>2</sub>	۴۴/۸۲	۰	۲- متوكسي اتانول	pH= ۱۱ آب دیونيزه	۲- متوكسي اتانول
Z10S	۴۰/۳۵	۲/۲۷	(میلی لیتر)	(میلی لیتر)	(میلی لیتر)
Z20S	۳۵/۸۶	۴/۵۵	۲۰	۴	۴
Z30S	۳۱/۳۸	۶/۸۳	۲۰	۴	۴

آوردن محصولی با ترکیب شیمیایی یکنواخت است. با افزودن محلول شماره ۲ به محلول شماره ۱، «هیدرولیز»<sup>۷</sup> پیش‌ماده‌های آلى در حضور کاتالیست بازی انجام شد و بعد از اختلاط کامل سل شفافی به دست آمد. پس از اختلاط پیش‌ماده‌های آلى، سل خاص برای جلوگیری از ترکم موضعی پیش‌ماده‌ها، به مدت ۱۰ دقیقه با سرعت ۵۰۰ دور بر دقیقه هم زده شد. سپس برای اطمینان از اختلاط کامل و تشکیل سل یکنواخت و پایدار، محلول با سرعت ۲۰۰ دور بر دقیقه به مدت یک ساعت در دمای اتاق هم زده شد. مرحله بعدی، «فرایند تراکم»<sup>۸</sup> است که در آن پیش‌ماده‌های هیدرولیز شده با هم واکنش داده و با آزاد کردن آب، به هم متصل شده و شبکه سه‌بعدی به هم پیوسته‌ای را تشکیل می‌دهند که منجر به تشکیل ژل می‌شود. مرحله تبدیل سل شفاف به ژل زمانبر است و با افزایش کسر مولی پیش‌ماده تراتیل ارتو سیلیکات کاهش می‌یابد. ژل به دست آمده، در دمای ۱۰۰ درجه سانتی گراد به مدت ۱۲ ساعت خشک شد و به منظور استخراج حلال آلى ۲- متوكسي اتانول، ژل خشک شده در محلول اتانول/آب با نسبت حجمی ۹۵/۵ در یک ظرف سربسته در دمای ۶۰ درجه سانتی گراد هم زده شد. برای اطمینان از استخراج کامل حلال آلى، مرحله شستشوی سه بار متوالی (هر ۶ ساعت یکبار) انجام گرفت. گفتنی است که در صورت عدم استخراج کامل حلال آلى، ذرات در مرحله عملیات حرارتی رنگ سیاه و یا متمایل به خاکستری خواهند داشت. در نهایت ژل به دست آمده به مدت ۲۴ ساعت در دمای ۱۰۰ درجه سانتی گراد خشک و به مدت چهار ساعت در در

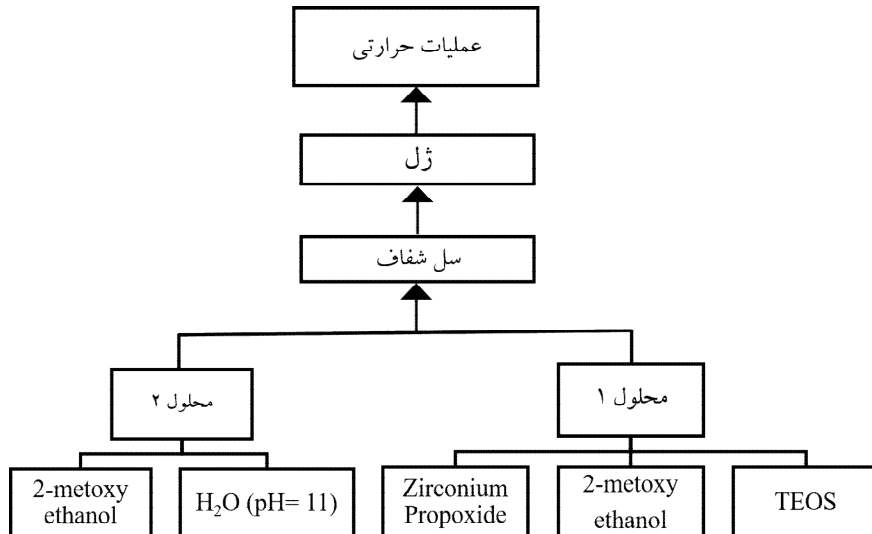
## ۲- مواد و روش تحقیق

### ۱-۲- مواد

در این تحقیق از زیرکونیم پروپوکساید<sup>۴</sup> ۷۰ درصد وزنی در پروپانول Zr(OCH<sub>2</sub>CH<sub>2</sub>CH<sub>3</sub>)<sub>4</sub>، (آلدریچ)، تراتیل ارتو سیلیکات<sup>۵</sup> Si(OC<sub>2</sub>H<sub>5</sub>)<sub>4</sub>، (مرک)، اتانول مطلق C<sub>2</sub>H<sub>5</sub>OH، (مرک)، ۲- متوكسي اتانول<sup>۶</sup> C<sub>3</sub>H<sub>8</sub>O<sub>2</sub>، (مرک) و محلول آمونیاک (NH<sub>3</sub>، (مرک) استفاده شد.

### ۲-۲- روش سنتز ذرات کامپوزیتی $\text{ZrO}_2\text{-SiO}_2$

ذرات کامپوزیت  $\text{ZrO}_2\text{-SiO}_2$  به روش سل- ژل با استفاده از کاتالیست بازی سنتز شدند. از زیرکونیم پروپوکساید و تراتیل ارتو سیلیکات به ترتیب به عنوان پیش‌ماده‌های آلى  $\text{SiO}_2$  و  $\text{ZrO}_2$  استفاده شد. از حلال آلى ۲- متوكسي اتانول به عنوان عامل کی لیت‌کننده برای جلوگیری از جدایش فازی ناشی از تفاوت در سرعت هیدرولیز دو پیش‌ماده آلى استفاده شد. به این منظور، ابتدا دو محلول جداگانه (محلول شماره ۱ و ۲) طبق جدول (۱) تهیه و محلول شماره ۲ به محلول شماره ۱ اضافه شد. محلول شماره ۱ شامل پیش‌ماده‌های زیرکونیم پروپوکساید و تراتیل ارتو سیلیکات است که در حلال آلى ۲- متوكسي اتانول حل شده است. محلول شماره ۲ حاوی کاتالیست بازی (آب با pH= ۱۱) رقیق شده در حلال آلى ۲- متوكسي اتانول است. pH با محلول آمونیاک تنظیم شد. علت رقیق کردن کاتالیست بازی، پیشگیری از انجام واکنش هیدرولیز و تراکم به صورت موضعی و به دست



شکل ۳- مراحل سنتز ذرات کامپوزیتی  $\text{ZrO}_2\text{-SiO}_2$  به روش سل- ژل

سنتز شده با استفاده از دستگاه Beckman counter Delsanano مدل N5 (ساخت آمریکا) اندازه‌گیری شد. به این منظور ابتدا ذرات در حلال اتانول با غلظت یک گرم بر لیتر در حمام اولتراسونیک به مدت ۱۵ دقیقه پخش شدند. سپس سوپانسیون تهیه شده در ۱۰ میلی‌لیتر اتانول خالص رقیق شد. قبل از بارگذاری نمونه در دستگاه، سوپانسیون رقیق شده از فیلتری با قطر تخلخل‌های کمتر از دو میکرومتر عبور داده شد. برای اطمینان از صحت و دقت داده‌ها هر نمونه سه بار تکرار شد.

### ۳- نتایج و بحث

در این تحقیق، چهار نوع ذره با ترکیب شیمیایی  $\text{ZrO}_2$ - $\text{SiO}_2$  و  $\text{ZrO}_2$ - $\text{SiO}_2$  سنتز و به مدت چهار ساعت در دماهای ۴۵۰، ۶۰۰، ۸۰۰، ۱۰۰۰ و ۱۱۰۰ درجه سانتی‌گراد به منظور بررسی تأثیر افزودن  $\text{SiO}_2$  آمورف در تحولات فازی  $\text{ZrO}_2$  با نرخ افزایش دمای ۱۰ درجه بر دقیقه عملیات حرارتی شد. همچنین تغییر در اندازه ذرات سنتز شده با افزایش محتوای  $\text{SiO}_2$  بررسی شد.

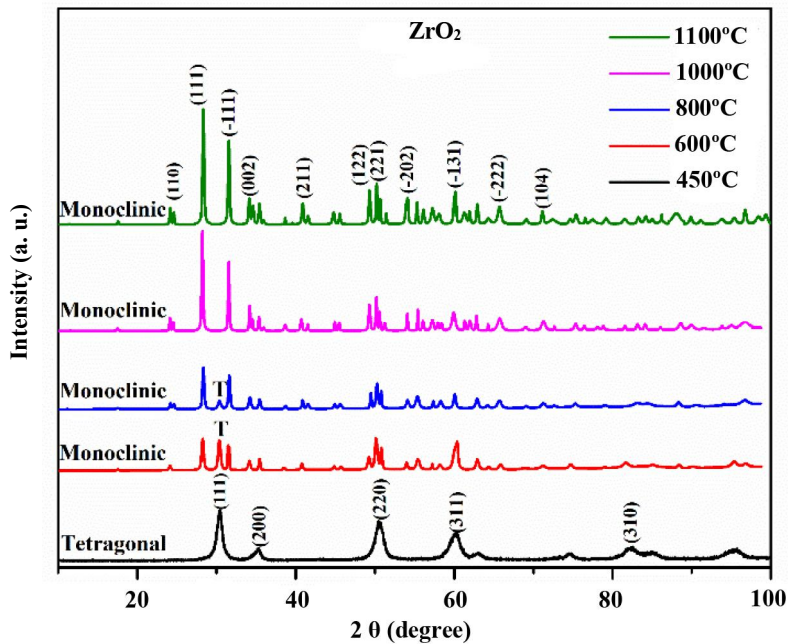
### ۳-۱- پراش پرتو ایکس

نتایج آزمون پراش پرتو ایکس گرفته شده از ذرات  $\text{ZrO}_2$

دماهای ۴۵۰، ۶۰۰، ۸۰۰، ۱۰۰۰ و ۱۱۰۰ درجه سانتی‌گراد (به منظور بررسی تحولات فازی زیرکونیا) عملیات حرارتی شد. مراحل سنتز به طور نمادین در شکل (۳) آورده شده است. در این تحقیق ذرات کامپوزیتی  $\text{ZrO}_2\text{-SiO}_2$  با محتوای ۱۰، ۲۰ و ۳۰ درصد مولی  $\text{SiO}_2$  آمورف، به ترتیب با کدهای Z10S و Z20S و Z30S مشخص شده‌اند.

### ۳-۲- روش‌های مشخصه‌یابی

ترکیب فازی پوشش‌ها با استفاده از آزمون پراش پرتو ایکس<sup>۹</sup> (XRD) با دستگاه Philips مدل X'pert- MPD (ساخت هلند) محدوده ۲۰ از ۲۰ تا ۸۰ درجه با استفاده از تابش  $k\alpha$  تولید شده توسط لامپ مسی در پتانسیل ۴۰ کیلوولت و جریان ۰/۰۲ میلی‌آمپر با نرخ روبش سه درجه بر دقیقه و اندازه گام ۰/۰۲ درجه انجام شد. از نرم‌افزار Highscore X'pert برای تحلیل الگوهای پراش با بانک اطلاعاتی PDF2 استفاده شد. مورفولوژی و اندازه ذرات با تصاویر میکروسکوپی الکترونی FEI Helios (SEM) با استفاده از میکروسکوپ FEI Helios (ساخت آمریکا) انجام گرفت. از اسپکتروسکوپی مادون قرمز با تبدیل فوریه<sup>۱۰</sup> مدل Spectrume GX (ساخت هلند) برای تحلیل پیوندهای تشکیل شده استفاده شد. توزیع اندازه ذرات

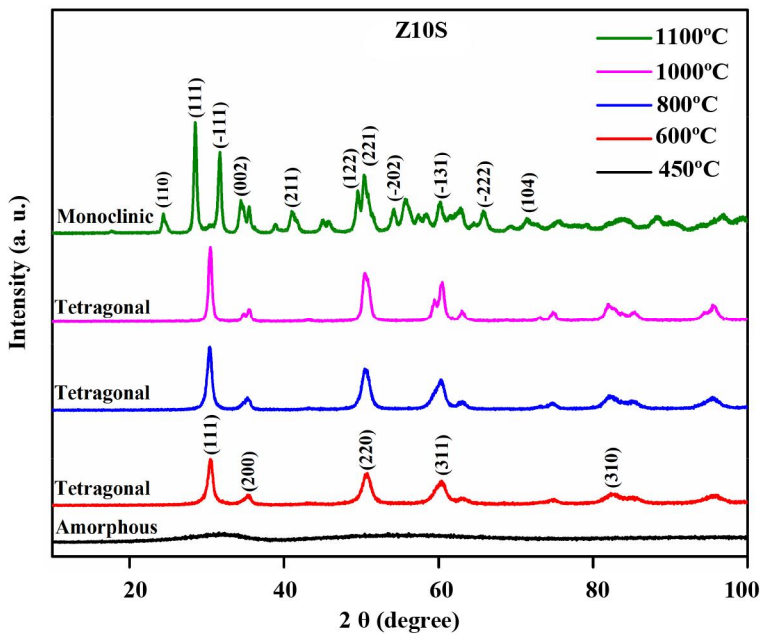


شکل ۴- الگوی پراش پرتو ایکس نمونه  $\text{ZrO}_2$  عملیات حرارتی شده در دماهای ۴۵۰، ۶۰۰، ۸۰۰، ۱۰۰۰ و ۱۱۰۰ درجه سانتی گراد

با افزایش بیشتر دما به ۱۱۰۰ درجه سانتی گراد، فاز مونوکلینیک همچنان پایدار مانده و بهدلیل افزایش اندازه بلورک‌ها، شدت پیک‌ها به طور قابل توجهی افزایش پیدا کرده است. بر اساس دیاگرام‌های فازی، فاز مونوکلینیک تا دمای ۱۱۷۰ درجه سانتی گراد پایدار مانده و سپس به ساختار تتراگونال پایدار تبدیل می‌شود [۱۴].

اگر بتوان محدوده دمایی پایداری ساختار تتراگونال شبکه‌پایدار، که از ساختار آمورف در دمای حدود ۵۵۰ درجه سانتی گراد جوانه می‌زند، را افزایش داد، می‌توان این ساختار تتراگونال را با اندازه دانه‌های ریزتر در دمای پایین‌تر سنتز کرد. مهم‌ترین مزیت پایدارسازی ساختار تتراگونال، جلوگیری از استحاله مارتنزیتی ناشی از تبدیل ساختار تتراگونال  $\text{ZrO}_2$  به مونوکلینیک است که بهدلیل افزایش حجم باعث محدودیت کاربرد آن به خصوص در کاشتنی‌ها می‌شود. افزایش دما، تماس با آب و همچنین تنش‌های اعمال شده می‌توانند نیروی محرکه استحاله مارتنزیتی تتراگونال به مونوکلینیک  $\text{ZrO}_2$  باشند. به طور مثال در کاربردهایی پژوهشکی، تماس  $\text{ZrO}_2$  با محیط‌های بیولوژیکی و همچنین در بخش‌هایی از بدن که کاشتنی تحت

خالص در دماهای ۴۵۰، ۶۰۰، ۸۰۰، ۱۰۰۰ و ۱۱۰۰ درجه سانتی گراد در شکل (۴) نشان داده است. همان‌طور که مشخص است، اولین فازی که از ساختار آمورف  $\text{ZrO}_2$  جوانه‌زنی می‌کند فاز شبکه‌پایدار تتراگونال است. دلیل این امر به تشابه ساختاری بیشتر فاز تتراگونال با ساختار آمورف  $\text{ZrO}_2$  نسبت داده شده است، به طوری که انرژی مورد نیاز برای جوانه‌زنی این فاز بلوری نسبت به سایر ساختارهای بلوری کمتر است. ساختار شبکه‌پایدار تتراگونال ایجاد شده، ناپایدار بوده و با افزایش دما به فاز پایدار مونوکلینیک تبدیل می‌شود [۱۲]. همان‌طور که در الگوی پراش پرتو ایکس در شکل (۴) مشاهده می‌شود، در دمای ۶۰۰ درجه سانتی گراد، تحول ساختار تتراگونال شبکه‌پایدار به مونوکلینیک اتفاق افتاده و در این دما ترکیبی از این دو فاز وجود دارد. دمای آغاز استحاله تتراگونال شبکه‌پایدار به مونوکلینیک در مرجع [۱۳] حدود ۵۵۰ درجه سانتی گراد عنوان شده است که در این پژوهش نیز این دما بین ۴۵۰ تا ۶۰۰ درجه سانتی گراد است و با نتایج گرفته شده در تحقیقات اخیر کاملاً همخوانی دارد. با افزایش دما به ۱۰۰۰ درجه سانتی گراد، استحاله کامل شده و ساختار خالص مونوکلینیک ایجاد می‌شود.

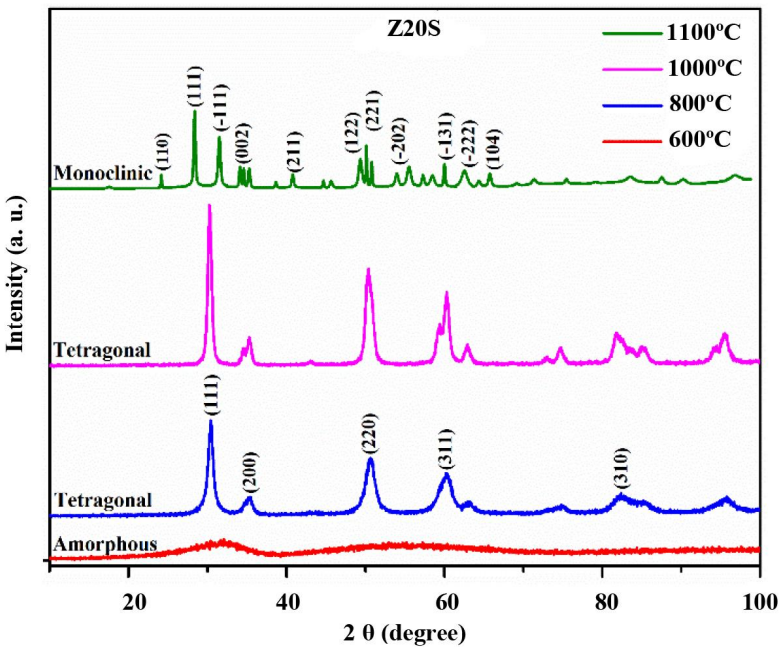


شکل ۵- الگوی پراش پرتو ایکس نمونه Z10S عملیات حرارتی شده در دماهای ۶۰۰، ۸۰۰، ۱۰۰۰ و ۱۱۰۰ درجه سانتی گراد

درجه سانتی گراد اتفاق افتاده بود. با افزایش دما تا ۸۰۰ درجه سانتی گراد، فاز شبه‌پایدار تتراگونال از زمینه آمورف جوانه می‌زند. به این ترتیب می‌توان گفت دمای شروع جوانه‌زنی Z10S ساختار شبه‌پایدار تتراگونال  $ZrO_2$  در ذرات کامپوزیتی حدود ۶۰۰ درجه سانتی گراد است که نسبت به مورد مشابه در ذرات خالص  $ZrO_2$  حداقل ۱۵۰ درجه سانتی گراد افزایش نشان می‌دهد. با افزایش دما حتی تا ۱۰۰۰ درجه سانتی گراد، فاز شبه‌پایدار تتراگونال پایدار مانده و در دمای ۱۱۰۰ درجه سانتی گراد به فاز مونوکلینیک تبدیل شده است. دمای تقریبی برای شروع تبدیل فاز تتراگونال به مونوکلینیک به محتوای آمورف در نانوکامپوزیت  $ZrO_2-SiO_2$  بستگی دارد، ولی نتایج تحقیقات نشان می‌دهد که این تحول فازی در محدوده دمایی ۱۱۰۰ تا ۱۲۰۰ درجه سانتی گراد اتفاق می‌افتد [۱۷]. در دمای ۱۰۰۰ درجه سانتی گراد، ساختار تتراگونال شبه‌پایدار هنوز پایدار است و شدت پیک‌های آن اندکی افزایش یافته است. با افزایش دما تا ۱۱۰۰ درجه سانتی گراد، ساختار شبه‌پایدار تتراگونال  $ZrO_2$  به ساختار مونوکلینیک تبدیل می‌شود. بنابراین دمای شروع جوانه‌زنی فاز تتراگونال

تنش قرار می‌گیرد، می‌تواند محرك آغاز این استحاله بوده و منجر به کاهش عمر مفید و یا حتی پس زدگی کاشتنی شوند [۱۵]. در این تحقیق، تأثیر افزودن  $SiO_2$  آمورف به ساختار  $ZrO_2-SiO_2$  به روش سل-ژل با کاتالیست بازی بررسی شده است. به عنوان یکی از اجزای اصلی سازنده بیومواد شیشه‌ای است که به دلیل بار منفی ناشی از رهایش پروتون از گروه‌های سایلانول (Si-O-H) موجود در سطح آن در محیط‌های بیولوژیکی، به عنوان مراکر جذب بونهای کلسیم عمل کرده و جوانه‌زنی هیدروکسی آپاتیت را تسريع می‌کند. بنابراین با افزودن  $SiO_2$  به ساختار  $ZrO_2$  علاوه بر پایدارسازی ساختار تتراگونال و جلوگیری از استحاله مارتزیتی، می‌توان خواص زیست‌فعالی ذرات را افزایش داد [۱۶].

الگوی پراش پرتو ایکس ذرات کامپوزیتی Z10S در شکل (۵) نشان داده شده است. همان‌طور که مشخص است، در دمای ۶۰۰ درجه سانتی گراد، ذرات هنوز ساختار آمورف دارند که مشخصه آن وجود یک پیک پهن در زوایای بین ۲۰ تا ۴۰ درجه است. در حالی که در  $ZrO_2$  خالص، جوانه‌زنی ساختار بلوری تتراگونال شبه‌پایدار از فاز آمورف، در دمای حدود ۴۵۰

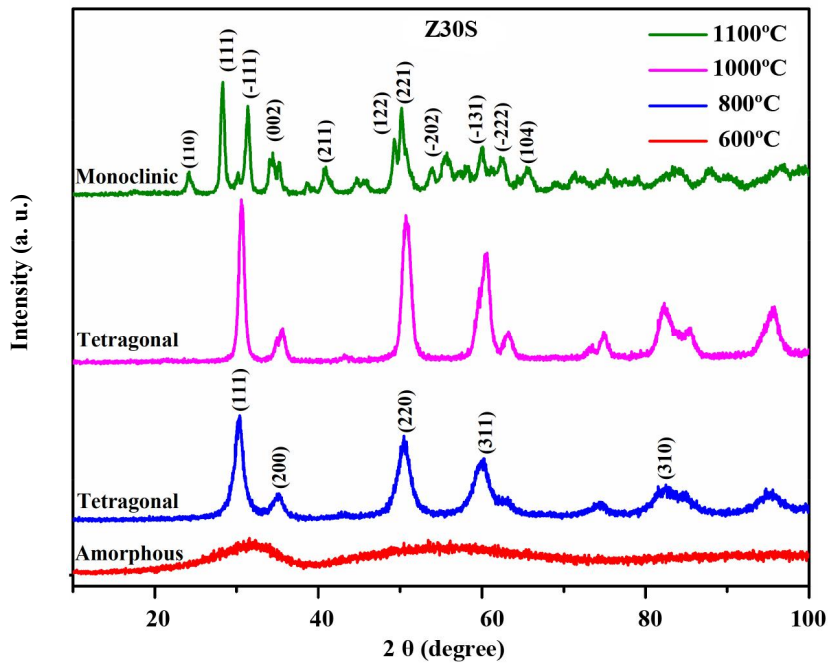


شکل ۶- الگوی پراش پرتو ایکس نمونه Z20S عملیات حرارتی شده در دماهای ۶۰۰، ۸۰۰، ۱۰۰۰ و ۱۱۰۰ درجه سانتی گراد

کرده و پهن تر شده‌اند.

شکل (۶) الگوی پراش پرتو ایکس ذرات کامپوزیتی Z20S را نشان می‌دهد. با افزایش محتوای  $\text{SiO}_2$  به ۲۰ درصد مولی، جوانه‌زنی فاز تتراتگونال از زمینه آمورف به دماهای بالاتر منتقل می‌شود. در نمونه Z10S در دمای ۶۰۰ درجه سانتی گراد، فاز بلوری تتراتگونال شبه‌پایدار از زمینه آمورف تشکیل شده و با افزایش دما تحول فازی آن در دمای ۱۰۰۰ درجه کامل می‌شود. درحالی که در نمونه Z20S در دمای مشابه ۶۰۰ درجه سانتی گراد، هنوز ساختار آمورف پایدار بوده و بلوری شدن رخ نداده است. بنابراین با افزایش محتوای  $\text{SiO}_2$  به ۲۰ درصد مولی، جوانه‌زنی ساختار بلوری تتراتگونال از زمینه آمورف به تعویق افتاده و به دماهای بالاتر منتقل شده است. با افزایش دما تا ۸۰۰ درجه سانتی گراد، ساختار بلوری تتراتگونال از زمینه آمورف تشکیل شده و در دمای ۱۱۰۰ درجه سانتی گراد به ساختار بلوری مونوکلینیک تبدیل می‌شود. شدت پیک‌ها در ذرات کامپوزیتی  $\text{ZrO}_2\text{-SiO}_2$  با افزایش محتوای  $\text{SiO}_2$  آمورف، حتی نسبت به ذرات Z10S کمتر شده و همچنین پهناز پیک‌ها افزایش بیشتری پیدا کرده است.

شبه‌پایدار از حدود ۴۵۰ درجه سانتی گراد در ذرات  $\text{ZrO}_2$  خالص به حدود ۶۰۰ درجه سانتی گراد در ذرات Z10S افزایش نشان می‌دهد که تأثیر قابل توجه افزودن  $\text{SiO}_2$  آمورف در افزایش محدوده دمایی پایداری ساختار تتراتگونال شبه‌پایدار را نشان می‌دهد. بسته به درصد مولی  $\text{SiO}_2$  آمورف، دلایل مختلفی برای پایداری فاز تتراتگونال  $\text{ZrO}_2$  مطرح است. در درصدهای مولی کم  $\text{SiO}_2$  آمورف (۱۰ درصد مولی و کمتر)، لایه‌ای نازک از  $\text{SiO}_2$  آمورف در اطراف ذرات تتراتگونال  $\text{ZrO}_2$  تشکیل می‌شود و از رشد بیشتر ذرات جلوگیری می‌کند. در استحالة مارتنتزیتی تتراتگونال به مونوکلینیک  $\text{ZrO}_2$  افزایش حجمی در حدود پنج درصد اتفاق می‌افتد.  $\text{SiO}_2$  به دلیل ماهیت آمورف سطح تماس بسیار خوبی با ذرات تتراتگونال  $\text{ZrO}_2$  برقرار می‌کند و به دلیل تشکیل لایه‌ای نازک و پیوسته با ممانعت از افزایش حجم ناشی از استحالة مارتنتزیتی، فاز تتراتگونال  $\text{ZrO}_2$  را پایدار می‌کند. این پدیده به «اثر محدودکنندگی»<sup>۱۲</sup> شناخته می‌شود که مانع از رشد ذرات در حین افزایش دما می‌شود [۱۸]. همان‌طور که از الگوهای پراش پرتو ایکس در شکل (۵) مشخص است، شدت پیک‌ها در ذرات Z10S نسبت به ذرات  $\text{ZrO}_2$  کاهش پیدا



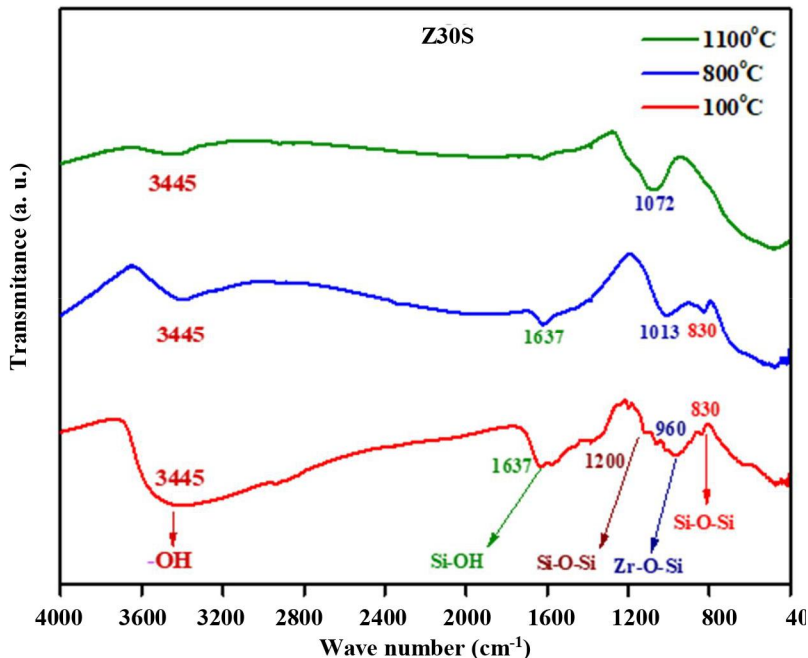
شکل ۷- الگوی پراش پرتو ایکس نمونه Z30S عملیات حرارتی شده در دماهای ۶۰۰، ۸۰۰، ۱۰۰۰ و ۱۱۰۰ درجه سانتی گراد

جدول ۲- اندازه بلورک محاسبه شده به روش شر برای نمونه های ذرات خالص ZrO<sub>2</sub> و ذرات کامپوزیتی Z30S در دماهای مختلف

نمونه/دماهی عملیات حرارتی (درجه سانتی گراد)	۱۱۰۰	۱۰۰۰	۸۰۰	۶۰۰	۴۵۰	
ZrO <sub>2</sub>	۴۷/۱۲	۳۶/۹	۳۲/۵	۲۷/۵	۲۳/۲۳	
Z10S	۴۱/۹۴	۳۳/۴۵	۳۱/۶	۲۴/۴	-	
Z20S	۳۴/۵۲	۳۱/۱۸	۲۶/۷	-	-	
Z30S	۳۱/۷۱	۲۳/۸۱	۲۳/۸۲	-	-	

بیشتر و مؤثرتری برای جلوگیری از رشد ذرات وجود داشته و درنتیجه ممانعت از انجام استحالة مارتنزیتی شدیدتر است. میانگین اندازه بلورک ها برای ذرات خالص ZrO<sub>2</sub> و ذرات کامپوزیتی ZrO<sub>2</sub>-SiO<sub>2</sub> با استفاده از رابطه شر کامپوزیتی  $ZrO_2-SiO_2 = k\lambda / B \cos(2\theta)$  محاسبه و در جدول (۲) گزارش شده است [۱۹]. در این رابطه،  $\lambda$  طول موج پرتو ایکس ( $CuK\alpha = 0.15406 \text{ nm}$ ) عدد ثابت،  $B$  پهنای پیک در نصف ارتفاع (FWHM) و  $\theta$  زاویه پراش است. همان‌طور که مشخص است ذرات خالص ZrO<sub>2</sub> بیشترین اندازه بلورک را دارند. اندازه بلورک در ذرات کامپوزیت ZrO<sub>2</sub>-SiO<sub>2</sub> با افزایش

شکل (۷)، الگوی پراش پرتو ایکس ذرات کامپوزیتی Z30S را نشان می‌دهد. در این ذرات تغییرات مشابه با ذرات Z20S است؛ به طوری که در دمای ۶۰۰ درجه سانتی گراد، هنوز ساختار آمورف پایدار بوده و در دمای ۸۰۰ درجه سانتی گراد به ساختار تتراگونال شبیه پایدار تبدیل می‌شود. در نمونه Z30S، شدت پیک‌ها به مقدار اندکی نسبت به نمونه Z20S کاهش یافته و پهنای پیک‌ها مقداری افزایش یافته است. اثر محدودکننده در درصد های مولی بالاتر SiO<sub>2</sub> آمورف (ذرات Z30S و Z20S) بسیار شدیدتر است زیرا در این حالت به دلیل تشکیل لایه‌ای ضخیم‌تر در اطراف ذرات تتراگونال ZrO<sub>2</sub>، موانع



شکل ۸- الگوی مادون قرمز با تبدیل فوریه مربوط به نمونه Z30S در دماهای ۱۰۰، ۸۰۰ و ۱۱۰ درجه سانتی گراد

دماهای این تحول در ذرات کامپوزیتی  $\text{ZrO}_2\text{-SiO}_2$  حدود ۱۱۰۰ درجه است. پژوهشگران بر این باورند که افزایش اندازه دانه بحرانی به دلیل اعوجاج در ساختار تراگونال  $\text{ZrO}_2$  است. دلیل اعوجاج ساختاری، تشکیل پیوندهای جدید  $\text{Zr-O-Si}$  در فصل مشترک ذرات کامپوزیتی عنوان شده است [۱۲]. این رفتار در ساختارهای کامپوزیتی مشابه مانند  $\text{TiO}_2\text{-SiO}_2$  نیز گزارش شده است که در آن دلیل اصلی پایداری فاز آناناتاز  $\text{TiO}_2$ ، تشکیل پیوندهای  $\text{Ti-O-Si}$  عنوان شده است [۲۱]. بسیاری از پژوهشگران اعتقاد دارند که دلیل دیگر برای اعوجاج ساختاری تراگونال، وجود پیوندهای  $\text{Si-O}^-$  است [۲۲].

به منظور بررسی دقیق‌تر دلیل اعوجاج ساختار تراگونال  $\text{ZrO}_2$  در ذرات سنتز شده، آزمون مادون قرمز با تبدیل فوریه از ذرات Z30S عملیات حرارتی شده در سه دمای مختلف ۱۰۰، ۸۰۰ و ۱۱۰۰ درجه سانتی گراد انجام گرفت (شکل ۸). همان‌طور که گفته شد، ذرات کامپوزیتی Z30S به روش سل-ژل سنتز شده‌اند. در این روش پیوندهای  $\text{Zr-O-Si}$  که مسئول پایداری ساختار تراگونال ( $\text{Zr-O-Si}$ ) هستند ممکن است در مرحله تراکم ژل تشکیل شوند [۲۳]. به همین دلیل از ذرات

محتوی  $\text{SiO}_2$  کاهش پیدا کرده است که ناشی از اثر سدی  $\text{SiO}_2$  آمروf است که اطراف جوانه‌های در حال رشد  $\text{ZrO}_2$  را احاطه کرده است.

در ذرات کامپوزیتی  $\text{ZrO}_2\text{-SiO}_2$  معیاری به نام «اندازه دانه بحرانی»<sup>۱۳</sup> تعریف می‌شود. در صورتی که اندازه ذرات  $\text{ZrO}_2$  از اندازه دانه بحرانی آن کمتر باشد ساختار تراگونال پایدار می‌ماند. حضور تنیش‌های شبکه‌ای و مراکز عیوب در شبکه بلوری مانع از انجام استحاله مارتنتزیتی تراگونال به مونوکلینیک  $\text{ZrO}_2$  در اندازه ذرات کمتر از اندازه دانه بحرانی می‌شود. برای  $\text{ZrO}_2$  خالص، اندازه دانه بحرانی حدود ۳۰ نانومتر گزارش شده است. به عبارتی در اندازه دانه‌های پایین‌تر از ۳۰ نانومتر، فاز تراگونال پایدار است و استحاله مارتنتزیتی انجام نمی‌گیرد. اندازه دانه بحرانی در ذرات کامپوزیت Z30S بیشتر از ذرات خالص  $\text{ZrO}_2\text{-SiO}_2$  است، به همین دلیل ساختار شبکه‌پایدار تراگونال در ذرات کامپوزیتی نسبت به ذرات خالص  $\text{ZrO}_2$  تا دماهای بالاتری پایدار می‌ماند [۲۰]. مطابق با شکل (۴)، دمای تحول ساختار تراگونال شبکه‌پایدار به ساختار مونوکلینیک در ذرات خالص  $\text{ZrO}_2$  حدود ۶۰۰ درجه سانتی گراد به دست آمد، در حالی که

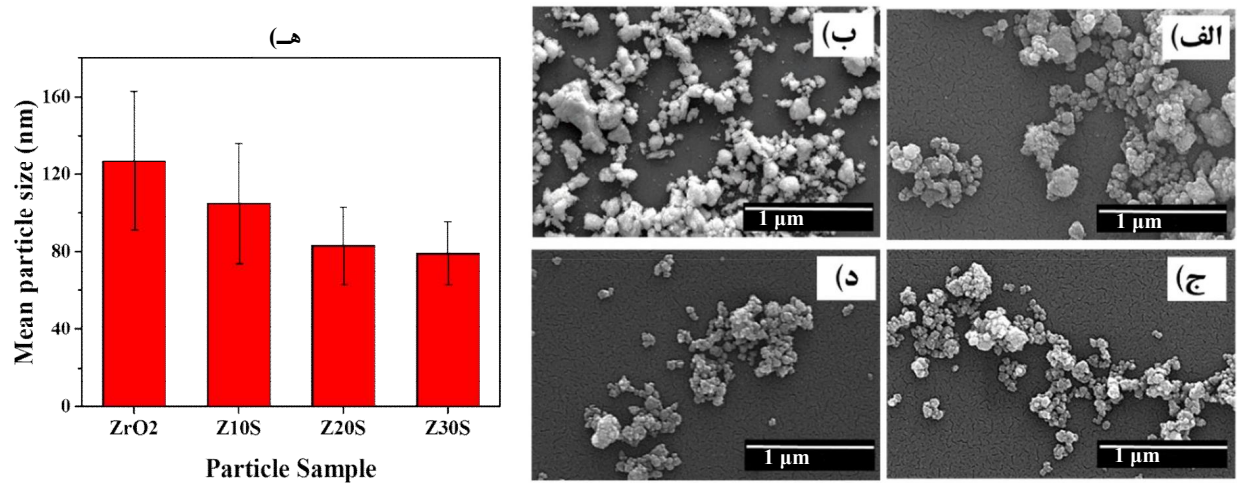
ماده وجود دارد. در صورت تشکیل این پیوند، انرژی ارتعاشات  $\text{ZrO}_2\text{-SiO}_2$  موجود در سیستم اکسید دوتایی  $\text{ZrO}_2$  مربوط به حالت خالص آن کاهش می‌یابد، زیرا تشکیل یک پیوند جدید باعث تغییر انرژی پیوندهای دیگر می‌شود. پیک ظاهر شده در بسامد ۹۶۰ هرتز به تشکیل پیوند  $\text{Zr-O-Si}$  ارتباط داده شده است. ظاهر شدن این پیوند در نمونه خشک شده در دمای ۱۰۰ درجه سانتی گراد بیانگر آن است که این پیوند در فصل مشترک  $\text{ZrO}_2$  با  $\text{SiO}_2$  آمورف در مرحله تراکم ژل تشکیل می‌شود و با افزایش دما به بسامدهای بالاتر انتقال پیدا می‌کند به طوری که در دمای ۶۰۰ درجه سانتی گراد به بسامد ۱۰۱۳ هرتز و در دمای ۱۱۰۰ درجه سانتی گراد به بسامد ۱۰۷۲ هرتز جایه‌جا شده است. اکثر پژوهشگران اعتقاد دارند که باند جذبی در بسامد ۹۶۰ هرتز به دلیل تشکیل پیوند  $\text{Zr-O-Si}$  است ولی تمایز این باند جذبی به دلیل همسایگی آن با باند جذبی تیز و پهن ناشی از ساختار آمورف  $\text{SiO}_2$  بسیار دشوار است. علاوه بر آن پیک موجود در بسامد ۹۶۰ هرتز می‌تواند ناشی از پیوندهای  $\text{Si-O-Si}$  نیز باشد [۲۶].

پیک ظاهر شده در بسامد ۸۳۰ هرتز به تشکیل پیوند  $\text{Si-O-Si}$  در ساختار آمورف  $\text{SiO}_2$  ارتباط داده شده است. با افزایش دما شدت این پیک در دمای ۱۱۰۰ درجه سانتی گراد کاهش می‌یابد. با افزایش دما نفوذ اتم‌های زیرکونیم به ساختار آمورف  $\text{SiO}_2$  افزایش یافته و با افزایش تشکیل پیوندهای  $\text{Si-O-Si}$  از تعداد پیوندهای  $\text{Si-O-Si}$  و همچنین تعداد پیوندهای  $\text{Si-OH}$  کاسته می‌شود. پیک ظاهر شده در بسامد ۴۶۰ هرتز به ارتعاشات ناشی از ساختار بلوری مونوکلینیک  $\text{ZrO}_2$  و همچنین به پیوندهای  $\text{Si-O-Si}$  در ساختار آمورف  $\text{SiO}_2$  ارتباط دارد. معمولاً پیک‌های مشخصه فاز مونوکلینیک در محدوده بسامدهای ۳۴۵، ۴۱۶، ۴۹۸، ۵۷۴ و ۷۳۲ هرتز در الگوی مادون قرمز با تبدیل فوریه ظاهر می‌شود که ممکن است با باندهای جذبی مربوط به گروه  $\text{Si-O}^-$  که علاوه بر بسامد ۹۶۰ هرتز در بسامد ۶۰۰ نیز ظاهر می‌شوند، همپوشانی داشته باشد [۲۷].

Z30S پس از خشک شدن در دمای ۱۰۰ درجه سانتی گراد نیز آزمون مادون قرمز با تبدیل فوریه انجام گرفت. همچنین این پیوندها ممکن است در دماهای بالاتر نیز به دلیل نفوذ اتمی در فصل مشترک ذرات کامپوزیتی  $\text{ZrO}_2\text{-SiO}_2$  تشکیل شوند. بنابراین، ذرات Z30S عملیات حرارتی شده در دمای ۸۰۰ درجه سانتی گراد که در آن ساختار تتراگونال شبه‌پایدار  $\text{ZrO}_2$  پایدار است و نیز ذرات Z30S عملیات حرارتی شده در دمای ۱۱۰۰ درجه سانتی گراد که ساختار شبه‌پایدار تتراگونال به ساختار مونوکلینیک  $\text{ZrO}_2$  تبدیل شده است، برای آزمون مادون قرمز با تبدیل فوریه انتخاب شدند.

پیک پهن ظاهر شده در نمونه خشک شده در دمای ۱۰۰ درجه سانتی گراد در بسامد ۳۴۴۵ هرتز، مربوط به ارتعاش کششی گروه عاملی هیدروکسیل (OH) است. با افزایش دما به ۸۰۰ درجه سانتی گراد، چگالی گروه‌های هیدروکسیل کم شده و شدت آنها کاهش پیدا می‌کند. همچنین شدت این پیک در نمونه عملیات حرارتی شده در دمای ۱۱۰۰ درجه، بسیار ناچیز است که بیانگر حذف این گروه‌های عاملی در دماهای بالا است. پیک ظاهر شده در بسامد ۳۴۵۵ هرتز، ناشی از ارتعاشات کششی گروه‌های هیدروکسیل سایلانول ( $\equiv\text{Si-OH}$ ) و نیز Z30S موجود در سطح ساختار آمورف کامپوزیت  $\text{Zr-OH}$  است. پیک ظاهر شده در بسامد ۱۶۳۷ هرتز، مربوط به ارتعاشات خمشی گروه‌های سایلانول ( $\equiv\text{Si-OH}$ ) است. شدت این پیک نیز در نمونه خشک شده در دمای ۱۰۰ درجه سانتی گراد بیشتر بوده و با افزایش دما شدت آن به طور قابل ملاحظه‌ای کاهش پیدا می‌کند [۲۴].

پیک مشخصه ظاهر شده در بسامد ۱۲۰۰ هرتز در نمونه خشک شده در دمای ۱۰۰ درجه سانتی گراد، مربوط ارتعاشات کششی متقارن  $\text{Si-O-Si}$  است. با افزایش دما حتی در ۸۰۰ درجه سانتی گراد، این پیک ناپدید می‌شود. دلیل این امر به نفوذ اتم‌های زیرکونیم ( $\text{Zr}^{4+}$ ) به ساختار آمورف  $\text{SiO}_2$  و جانشینی آن با اتم‌های Si نسبت داده شده است [۲۵]. به دلیل وجود  $\text{SiO}_2$  در کنار  $\text{ZrO}_2$  احتمال تشکیل پیوند  $\text{Zr-O-Si}$  نیز در ساختار



شکل ۹- تصاویر میکروسکوپی الکترونی روبشی از ذرات: (الف) ZrO<sub>2</sub>، (ب) Z10S، (ج) Z20S و (د) Z30S  
ه) نمودار اندازه متوسط ذرات

شیمیابی ذرات است. به نظر می‌رسد که ذرات ZrO<sub>2</sub> و Z10S مورفولوژی شبیه به چندضلعی‌های نامنظم دارند. عدم وجود تنش‌های یکنواخت بیرونی در ذرات خالص ZrO<sub>2</sub> و تنش‌های Z10S ناهمگن از طرف لایه نازک و غیریکنواخت در ذرات Z10S دلیل تشکیل ذراتی با مورفولوژی چندوجهی است. با افزایش محتوای SiO<sub>2</sub> آمورف در ذرات Z20S و Z30S لایه ZrO<sub>2</sub>، ضخیم‌تر و آمورف تشکیل شده در اطراف جوانه‌های ZrO<sub>2</sub>، ضخیم‌تر و یکنواخت‌تر شده و به این ترتیب تنش‌های همگن‌تری به دانه‌های در حال رشد وارد می‌شود که منجر به تشکیل ذراتی با مورفولوژی شبکه‌کروی می‌شود. مورفولوژی‌های به دست آمده در این پژوهش، مشابه با مورفولوژی‌های چندوجهی و پیضوی ذرات ZrO<sub>2</sub> در کامپوزیت ZrO<sub>2</sub>-SiO<sub>2</sub> هستند که به روش سل-ژل در محیط اسیدی سنتز شده‌اند [۱۴].

طبق شکل (۹-ه)، متوسط اندازه ذرات با افزایش محتوای ZrO<sub>2</sub> روند کاهشی نشان می‌دهد. میانگین اندازه ذرات ZrO<sub>2</sub> حدود ۱۳۰ نانومتر به دست آمده است که با افزایش محتوای SiO<sub>2</sub> به ۳۰ درصد مولی به حدود ۸۰ نانومتر کاهش یافته است. به عبارتی میانگین اندازه ذرات با افزایش ۳۰ درصد مولی SiO<sub>2</sub> آمورف به ذرات خالص ZrO<sub>2</sub> حدود ۱/۶ برابر کاهش یافته است که اهمیت نقش SiO<sub>2</sub> آمورف در کاهش اندازه ذرات

اثر اندازه ذرات در پایدارسازی فاز تراگونال توسط «اثر استوالد»<sup>۱۴</sup> نیز قابل توجیه است. طبق اثر استوالد، هنگامی که یک ماده در بیش از یک فرم وجود داشته باشد، ابتدا حالت ناپایدارتر تشکیل شده و سپس به حالتی با پایداری بیشتر تبدیل می‌شود. انرژی سطحی ساختار مونوکلینیک در مقایسه با ساختار تراگونال و مکعبی ZrO<sub>2</sub> بالاتر است [۲۸]؛ بنابراین طبق تحولات فازی گفته شده در معادله (۱)، ابتدا ساختار مونوکلینیک تشکیل شده و با افزایش دما به فاز پایدارتر تراگونال تبدیل می‌شود. لیکن به دلیل تشابه ساختاری بین ساختار تراگونال و زمینه آمورف ZrO<sub>2</sub> ابتدا ساختار تراگونال شبکه‌پایدار از زمینه آمورف جوانه زده و سپس به ساختار مونوکلینیک تبدیل می‌شود [۲۹].

شکل (۹)، تصاویر میکروسکوپی الکترونی روبشی به همراه نمودار توزیع اندازه ذرات عملیات حرارتی شده در دمای ۱۱۰۰ درجه سانتی‌گراد به مدت چهار ساعت را نشان می‌دهد. اثبات شده است که در روش سل-ژل سنتز ذرات ZrO<sub>2</sub>-SiO<sub>2</sub> ذرات ZrO<sub>2</sub> توسط لایه‌ای از SiO<sub>2</sub> آمورف محصور می‌شوند [۱۴]. این لایه آمورف SiO<sub>2</sub> تنش‌هایی را به دانه‌های در حال رشد وارد می‌کند که مورفولوژی نهایی ذرات را مشخص می‌کند. بنابراین، مورفولوژی ذرات سنتز شده تابع ترکیب می‌کند.

دماهی ۴۵۰ درجه سانتی گراد، حدود ۱۵۰ درجه سانتی گراد به دست آمد، درحالی که این محدوده دمایی برای همه ذرات کامپوزیتی به ۵۰۰ درجه سانتی گراد افزایش پیدا کرد و فاز تراگونال شبه‌پایدار در دماهی ۱۱۰ درجه سانتی گراد به فاز مونوکلینیک تبدیل شد. این اختلاف در محدوده دمایی پایداری، به دلیل اعوجاج در شبکه بلوری تراگونال شبه‌پایدار است. دلیل این اعوجاج، تشکیل پیوندهای جدید Zr-O-Si در فصل مشترک ذرات در مرحله تراکم سل-ژل و همچنین به اثر محدودکنندگی لایه سیلیکای آمورف در اطراف جوانه‌های زیرکونیا است. طبق نتایج به دست آمده، در دماهی ۱۰۰۰ درجه سانتی گراد هیچ پیک مشخصی مربوط به فاز مونوکلینیک وجود نداشت و فاز خالص شبه‌پایدار تراگونال تنها فاز موجود در ساختار نانوکامپوزیت است. درحالی که در ذرات کامپوزیتی زیرکونیا-سیلیکا که در تحقیقات اخیر بهروش سل-ژل در محیط کاتالیست اسیدی سنتز شده بود در دماهی ۱۰۰۰ درجه سانتی گراد درصدی از فاز تراگونال شبه‌پایدار به فاز مونوکلینیک تبدیل شده بود. بنابراین سنتز ذرات کامپوزیتی زیرکونیا-سیلیکا با کاتالیست بازی نسبت به کاتالیست اسیدی باعث افزایش دمای پایداری فاز تراگونال شبه‌پایدار می‌شود. همچنین متوسط اندازه ذرات با افزایش محتوای  $\text{SiO}_2$  کاهش پیدا کرد.

را نشان می‌دهد. دلیل کاهش اندازه ذرات با افزایش محتوای  $\text{SiO}_2$  با مکانیزم «اثر محدودکنندگی» قابل توجیه است. طبق این مکانیزم، لایه‌ای از سیلیکای آمورف در اطراف جوانه‌های  $\text{ZrO}_2$  تشکیل می‌شود که از رشد دانه‌ها جلوگیری کرده و میانگین اندازه ذرات را کاهش می‌دهد. با افزایش بیشتر محتوای سیلیکا، ضخامت لایه آمورف تشکیل شده در اطراف جوانه‌های زیرکونیا بیشتر شده و اثر سدی در برابر رشد دانه‌ها افزایش یافته و اندازه دانه‌ها ریزتر می‌شود.

#### ۴- نتیجه‌گیری

در این پژوهش، تأثیر افزودن سیلیکای آمورف به ساختار زیرکونیا در افزایش محدوده دمایی پایداری فاز تراگونال شبه‌پایدار بررسی شد. برای این منظور، ذرات خالص زیرکونیا و همچنین ذرات کامپوزیتی زیرکونیا-سیلیکا با محتوای ۱۰، ۲۰ و ۳۰ درصد مولی سیلیکای آمورف، سنتز و مشخصه‌بایی شدند. نتایج نشان داد که ترتیب تشکیل ساختارهای بلوری در ذرات کامپوزیتی مشابه با ذرات خالص زیرکونیا است به طوری که در تمام ذرات سنتز شده، ابتدا ساختار تراگونال شبه‌پایدار از زمینه آمورف جوانه زده و سپس با افزایش دما به ساختار مونوکلینیک تبدیل می‌شود. در ذرات خالص زیرکونیا، محدوده دمایی پایداری ساختار تراگونال شبه‌پایدار پس از تشکیل در

#### واژه‌نامه

- 1. Aging
- 2. Osteolysis
- 3. Stabilizer
- 4. Zirconium propoxide
- 5. Tetra Ethyl Orthosilicate (TEOS)
- 6. 2-methoxy ethanol
- 7. Hydrolysis
- 8. Condensation
- 9. X-ray Diffraction (XRD)
- 10. Scanning Electron Microscope (SEM)
- 11. Fourier-transform infrared spectroscopy (FTIR)
- 12. Constrained effect
- 13. Critical Particle Size (CPS)
- 14. Ostwal's effect

#### مراجع

- 1. Mochales, C., Frank, S., Zehbe, R., Traykova, T., Fleckenstein, C., Maerten, A., Fleck, C., and Mueller W., "Tetragonal and Cubic Zirconia Multilayered Ceramic Constructs Created by EPD", *The Journal of Physical Chemistry B*, Vol. 117, No. 6, pp. 1694-1701, 2012.
- 2. Soon, G., Pingguan- Murphy, B., Lai, K. W., and Akbar, S. A., "Review of Zirconia-Based Bioceramic: Surface Modification and Cellular Response", *Ceramics International*, Vol. 42, No. 11, pp. 12543-12555, 2016.

3. Lashneva, V. V., Shevchenko, A. V., and Dudnik, E. V., "Bioceramic Based on Zirconium Dioxide", *Glass and Ceramics*, Vol. 66, No. 3, pp. 140-143, 2009.
4. Lugh, V., and Sergo, V., "Low Temperature Degradation -Aging- of Zirconia: A Critical Review of the Relevant Aspects in Dentistry", *Dental Materials*, Vol. 26, No. 8, pp. 807-820, 2010
5. Chevalier, J., "What Future for Zirconia as a Biomaterial?", *Biomaterials*, Vol. 27, No. 4, pp. 535-543, 2006..
6. Ahemen, I., Dejene, F. B., and Botha, R., "Strong Green-Light Emitting Tb<sup>3+</sup> Doped Tetragonal ZrO<sub>2</sub> Nanophosphors Stabilized by Ba<sup>2+</sup> Ions", *Journal of Luminescence*, Vol. 201, pp. 303-313, 2018.
7. Ramos-Guerra, A. I., Martínez-Merlin, I., and Falcony, C., "The Role of the Stabilizing Agent on the Structural and Luminescent Properties of Hydrothermally Synthesized ZrO<sub>2</sub>:Tb<sup>3+</sup> Phosphors", *Ceramics International*, Vol. 44, No. 12, pp. 13744-13749, 2018.
8. Lawson, S., "Environmental Degradation of Zirconia Ceramics", *Journal of the European Ceramic Society*, Vol. 15, No. 6, pp. 485-502, 1995.
9. Srinivasan, R., Rice, L., and Davis, B. H., "Critical Particle Size and Phase Transformation in Zirconia: Transmission Electron Microscopy and X-ray Diffraction Studies", *Journal of the American Ceramic Society*, Vol. 73, No. 11, pp. 3528-3530, 1990.
10. Green, D., Hannink, R., and Swain, M., *Transformation Toughening of Ceramics*, Boca Raton, FL: CRC, 1989.
11. del Monte, F., Larsen, W., and Mackenzie, J. D., "Stabilization of Tetragonal ZrO<sub>2</sub> in ZrO<sub>2</sub>-SiO<sub>2</sub> Binary Oxides", *Journal of the American Ceramic Society*, Vol. 83, No. 3, pp. 628-634, 2000.
12. Osendi, M. I., Moya, J. S., Serna, C. J., and Soria, J., "Metastability of Tetragonal Zirconia Powders", *Journal of the American Ceramic Society*, Vol. 68, No. 3, pp. 135-139, 1985.
13. Finsel, M., Hemme, M., Döring, S., Rüter, J., Dahl, G., Krekeler, T., Kornowski, A., Ritter, M., Weller, H., and Vossmeyer, T., "Synthesis and Thermal Stability of ZrO<sub>2</sub>-SiO<sub>2</sub> Core-Shell Submicron Particles", *Journal of the American Ceramic Society*, Vol. 9, No. 46, pp. 26902-26914, 2019.
14. Garvie, R. C., "Stabilization of the Tetragonal Structure in Zirconia Microcrystals", *The Journal of Physical Chemistry*, Vol. 82, No. 2, pp. 218-224, 1978.
15. Gulino, A., La Delfa, S., Fragalà, I., and Eggle, R. G., "Low-Temperature Stabilization of Tetragonal Zirconia by Bismuth", *Chemistry of Materials*, Vol. 8, No. 6, pp. 1287-1291, 1996.
16. Li, P., Ohtsuki, C., Kokubo, T., Nakanishi, K., Soga, N., and de Groot, K., "The Role of Hydrated Silica, Titania, and Alumina in Inducing Apatite on Implants", *Journal of Biomedical Materials Research*, Vol. 28, No. 1, pp. 7-15, 1994.
17. Monte, F., Larsen, W., and Mackenzie, J. D., "Stabilization of Tetragonal ZrO<sub>2</sub> in ZrO<sub>2</sub>-SiO<sub>2</sub> Binary Oxides", *Journal of the American Ceramic Society*, Vol. 83, No. 3, pp. 628-634, 2000.
18. Del Monte, F., Larsen, W., and Mackenzie, J. D., "Chemical Interactions Promoting the ZrO<sub>2</sub> Tetragonal Stabilization in ZrO<sub>2</sub>-SiO<sub>2</sub> Binary Oxides", *Journal of the American Ceramic Society*, Vol. 83, No. 6, pp. 1506-1512, 2000.
19. Miao, L., Jin, P., Kaneko, K., Terai, A., Nabatova-Gabain, N., and Tanemura, S., "Preparation and Characterization of Polycrystalline Anatase and Rutile TiO<sub>2</sub> thin Films by RF Magnetron Sputtering", *Applied Surface Science*, Vol. 212, pp. 255-263, 2003.
20. Nagarajan, V., and Rao, K., "Crystallization Studies of ZrO<sub>2</sub>-SiO<sub>2</sub> Composite Gels", *Journal of Materials Science*, Vol. 24, No. 6, pp. 2140-2146, 1989.
21. Yoshinaka, M., Hirota, K., and Yamaguchi, O., "Formation and Sintering of TiO<sub>2</sub> (Anatase) Solid Solution in the System TiO<sub>2</sub>-SiO<sub>2</sub>", *Journal of the American Ceramic Society*, Vol. 80, No. 10, pp. 2749-2753, 1997.
22. Miranda Salvado, I. M., Serna, C. J., and Fernandez Navarro, J. M., "ZrO<sub>2</sub>-SiO<sub>2</sub> Materials Prepared by Sol-Gel", *Journal of Non-Crystalline Solids*, Vol. 100, No. 1, pp. 330-338, 1988.
23. Parashar, V. K., Raman, V., and Bahl, O. P., "Thermal Evolution of Sol-Gel Derived Zirconia and Binary Oxides of Zirconia-Silica", *Journal of Materials Science Letters*, Vol. 15, No. 18, pp. 1625-1629, 1996.
24. Bosman, H. J. M., Kruissink, E. C., Vanderspoel, J., and Vandeburgh, F., "Characterization of the Acid Strength of SiO<sub>2</sub>-ZrO<sub>2</sub> Mixed Oxides", *Journal of Catalysis*, Vol. 148, No. 2, pp. 660-672, 1994.
25. Okasaka, K., Nasu, H., and Kamiya, K., "Investigation of Coordination State of Zr<sup>4+</sup> Ions in the Sol-Gel-Derived ZrO<sub>2</sub>-SiO<sub>2</sub> Glasses by EXAFS", *Journal of Non-Crystalline Solids*, Vol. 136, No. 1-2, pp. 103-110, 1991.
26. Dang, Z., Anderson, B. G., Amenomiya, Y., and Morrow, B. A., "Silica-Supported Zirconia. 1. Characterization by Infrared Spectroscopy, Temperature-Programmed Desorption, and X-ray Diffraction", *The Journal of Physical Chemistry*, Vol. 99, No. 39, pp. 14437-14443, 1995.
27. Nogami, M., "Glass Preparation of the ZrO<sub>2</sub>-SiO<sub>2</sub> System by the Sol-Gel Process from Metal Alkoxides", *Journal of Non-Crystalline Solids*, Vol. 69, No. 2, pp. 415-423, 1985.
28. Grant, J., and Lind, S., "Hackh's Chemical Dictionary", *The Journal of Physical Chemistry*, Vol. 50, No. 5, pp. 445-445, 1946.
29. Tani, E., Yoshimura, M., and Sōmiya, S., "Formation of Ultrafine Tetragonal ZrO<sub>2</sub> Powder under Hydrothermal Conditions", *Journal of the American Ceramic Society*, Vol. 66, No. 1, pp. 11-14, 1983.